

62/1983.0/2.8
669.042, 882.4 Job 62089

P 492 ~ 493

(89) 加熱炉レキュペレーターの損傷原因について

八幡製鉄所技術研究所

大庭 宏・○田中 正義

On the Cause of Failure of Recuperator Tubes in a Reheating Furnace.

Hiroshi OHBA and Masayoshi TANAKA.

I. 緒 言

加熱炉および均熱炉の燃焼用空気予熱には、従来の蓄熱式より換熱式に大半変りつつあるが、換熱室における漏風率の増加は、プロアーの負荷を増すばかりでなく、燃焼用空気の温度をさげ、いちじるしい場合は炉の操業を中止するの止むなきにいたる。

この漏風率増加の主原因はチューブの損傷による事が多いが、使用後煉瓦の試験結果よりこの損傷の機構、漏風率増加の原因を検討したので報告する。

II. 試 料

試料は当所厚板工場バッチ型 No. 1 加熱炉(公称能力、 17.4 t/h)、燃料は高炉ガス 45%、コークス炉ガス(55%混焼)のレキュペレーターに約3年余使用し、漏風率 37%にも達したので解体されたチューブより採取した。(Fig. 1)。チューブは6段積重ねたもので、冷風入口側2列の最下段のみ耐スボーリング性の目的で SiC を 30~40% 配合したチューブを使用している。試料は SiC 配合の M-100 印4本と、普通のシャモット質チューブ M-132 印3本の計7本である。

III. 試験結果

1. 使用後チューブの外観



Photo. 1. Tested samples.

Table 1. Physical properties of original bricks.

Brick samples	Apparent porosity	Apparent density	True specific gravity	Water absorption	Modulus of rupture
M-100 A	25.5	2.84	2.11	12.0	143
" B	26.7	2.80	2.05	13.0	143
" C	24.6	2.80	2.11	11.6	245
" D	27.5	2.77	2.00	13.7	139
M-132 A	24.9	2.73	2.05	12.1	70
" B	27.3	2.73	1.98	13.7	109
" C	29.2	2.73	1.93	15.0	86

Table 2. Chemical analyses of fixed dusts and flaked materials.

Sample Items	M-132A Chamotte original brick	M-132B		M-132C Flaked material	M-100A Carborundum original brick	M-100B Fixed dust	M-100C Fixed dust	M-100D	
		Fixed dust	Flaked material					Flaked material	Fixed dust
Ig. loss	5.07	65.27	35.08	34.47	4.10	68.47	63.22	21.54	58.17
SiO ₂	49.10	4.14	53.40	50.46	57.43	4.09	4.04	75.53	9.65
Al ₂ O ₃	23.98	17.90	11.61	12.94	14.71	17.19	17.13	7.78	14.60
Fe ₂ O ₃	6.97	9.76	0.78	1.36	1.15	1.74	8.53	1.71	11.03
CaO	0.25	0.54	0.19	0.19	0.17	0.31	0.27	0.19	0.85
MgO	0.68				0.12			0.10	0.69
TiO ₂	0.65	0.36	0.40	0.40	0.39	0.23	0.41	0.25	0.30
SiC	13.29				20.74				
S		18.69	8.09	7.14	1.18	18.81	18.99	6.08	17.24

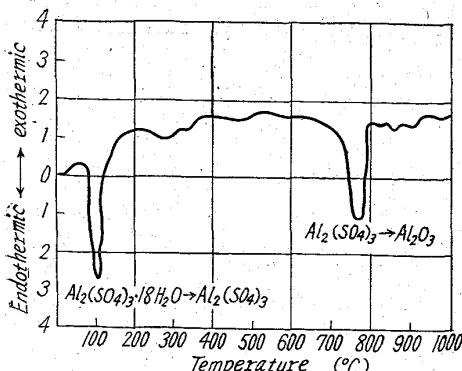


Fig. 2. D.T.A. curve of fixed dusts.

3. チューブ附着物および剝離物の化学分析結果試験結果を Table 2 に示す。

4. チューブの附着物および剝離物のX線回折結果附着物および剝離物の各々についてX線回折を行なつたが、全て硫酸アルミニウム ($\text{Al}_2(\text{SO}_4)_3 \cdot 18\text{H}_2\text{O}$), cristobalite, (SiO_2), 石英 (SiO_2) が確認された。

5. チューブ附着物の示差熱分析

附着物が $\text{Al}_2(\text{SO}_4)_3 \cdot 18\text{H}_2\text{O}$ であることを確認するために附着物の示差熱分析を行なつた。Fig. 2 にその熱分析曲線を示した。 $\text{Al}_2(\text{SO}_4)_3 \cdot 18\text{H}_2\text{O}$ は 86.5°C にて分解して $\text{Al}_2(\text{SO}_4)_3$ となり、 $\text{Al}_2(\text{SO}_4)_3$ は 770°C にて分解して Al_2O_3 となるが、この示差熱分析曲線からも $\text{Al}_2(\text{SO}_4)_3 \cdot 18\text{H}_2\text{O}$ であることが明らかである。

IV. 考 察

1. 漏洩の原因

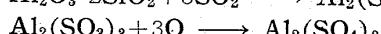
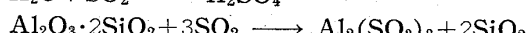
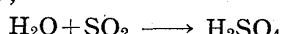
レキュペレーターチューブよりの空気の漏洩は、a) 使用中の熱衝撃により生じた亀裂によるもの、b) 廃ガス中の硫酸蒸気がチューブ内面に凝縮し、チューブ中のアルミナと反応し、硫酸アルミニウムを生成、侵食が進むためと考えられる。

a) の熱衝撃による亀裂は、炉の冷風入口側の下段部に多く見られ、1個のチューブも冷風の直接当る部分に亀裂の発生していることからも亀裂原因は明白である。

b) の廃ガス中の硫化物による侵食については、一応チューブ内面より侵食が進むために早急に漏洩の原因とはならないが、亀裂の発生により侵食はチューブ内面に進み、加速度的に侵食されて行くものと思われる。

2. 廃ガス中の硫化物による侵食

煉瓦焼成用の窯炉において煙道および煙突の低温部にS化合物の凝縮、または煉瓦との反応性成物が認められ、ボイラー等に於ても、煙道ガス中の SO_2 が水蒸気と硫酸を生成し、炉材を腐食することはすでに知られている。すなわち煙道ガス中に含まれる SO_2 が低温部で凝縮し、



と反応する。

この反応は材質変化とともに膨張性生成物のため組織の崩壊をもたらし、特に連続型の窯炉の低温部で顕著であるといわれている¹⁾。

この凝縮温度は約 150°C 前後とされており、現場に

おいてはレキュペレーター最下段の排ガス温度は約 400°C 位であるが、冷風により炉材自身は冷却されているため廃ガス中の SO_2 が硫酸蒸気となり冷風入口付近で凝縮し、該部のチューブ中の Al_2O_3 と反応して激しく侵食されるものと考えられる。

V. 結 言

1. No. 1 加熱炉レキュペレーターの漏風率増加の原因はスポーリングによる亀裂発生と、廃ガス中の硫酸蒸気がチューブ内面に凝縮し、チューブ中のアルミナ分と結合し硫酸アルミニウムを生成し侵食が進むためと考えられる。

2. 対策としては次のことが考えられる。

- a) チューブの耐スポーリング性を確保すること
- b) 燃料中のSを極力少なくすること
- c) 下2~3段にメタルチューブを採用すること
- d) 低温部を少なくとも 200°C 以上に上げること

文 献

1) Trans. Brit. Ceram. Soc., 152, (1953) p. 259.

62. 1983. 224. 2. 062

No 62090

(90) 均熱炉内のガスの流れに関する模型実験

中外炉工業 1973 ~ 1974

丸岡 芳樹・工博○奥村 俊邦

Model Experiment on Gas Flow in Soaking Pits.

Yoshiki MARUOKA

and Dr. Toshikuni OKUMURA.

I. 緒 言

均熱炉の設計において、炉内で燃焼ガスがどのように流れれるかを、あらかじめ知つておくことは重要なことである。一般に、炉内のガスの流れの研究には、主として水模型実験が用いられている。模型実験を大別すると、平面模型によるものと、立体模型によるものとにわけることができるが、平面模型は、実際の状況を十分に再現し得ないという欠点を有している。

本実験では、アクリル樹脂製の上部一方だき均熱炉の立体模型を作り、均熱炉内のガスの流れの一般的な形状およびこれにおよぼすバーナーの形状、炉ふたの形状、鉋塊のならべ方などの影響を調べた。

II. 実 験 方 法

使用した模型の寸法は Fig. 1 に示したが、これは実物の約 $1/20$ の寸法である。

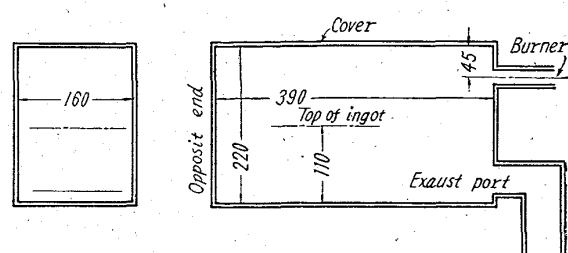


Fig. 1. Model of soaking pit.